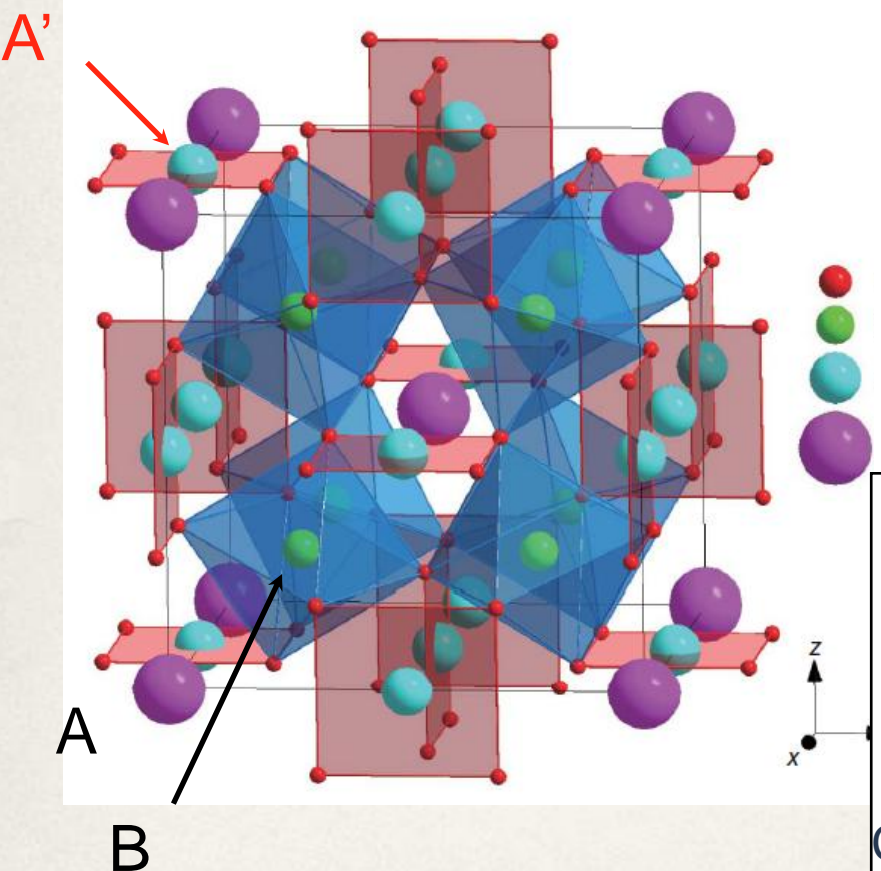
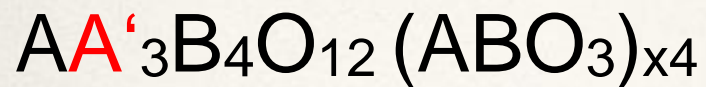


Aサイト秩序型ペロブスカイトの 軟X線分光

JASRI/SPring-8 水牧 仁一朗

A-site ordered Perovskite



A: Na^+ , Ca^{2+} , Ba^{2+} , La^{3+} ...
 A':Jahn-Tellerイオン(Cu^{2+} , Mn^{3+})
 B:遷移金属イオン(Ti, Mn, Co...)

Aサイトに通常は入らない
遷移金属イオンが入る

→ 新奇な物性が期待

CaCu₃Ru₄O₁₂(W.Kobayashi et al., JPSJ, 2004)
 f電子を含まない重い電子系的振る舞い
 LaCu₃Fe₄O₁₂(Y. Long et al., Nature, 2009)
 Cu-Feサイト間での電荷移動による負の熱膨張
 $(\text{Cu}^{2+} + \text{Fe}^{3.75+} \rightarrow \text{Cu}^{3+} + \text{Fe}^{3+})$
 CaCu₃Mn₄O₁₂(Z. Zeng et al., PRL, 1999)
 低磁場での巨大磁気抵抗

AMn'3B₄O₁₂の物性

Mnの形式価数

MnはJahn-Teller ionのはず

Mn³⁺

- ✓ RMn₃Al₄O₁₂(R=Y,Dy,Yb)



- ✓ NaMn₃Ti₄O₁₂



Mnに着目

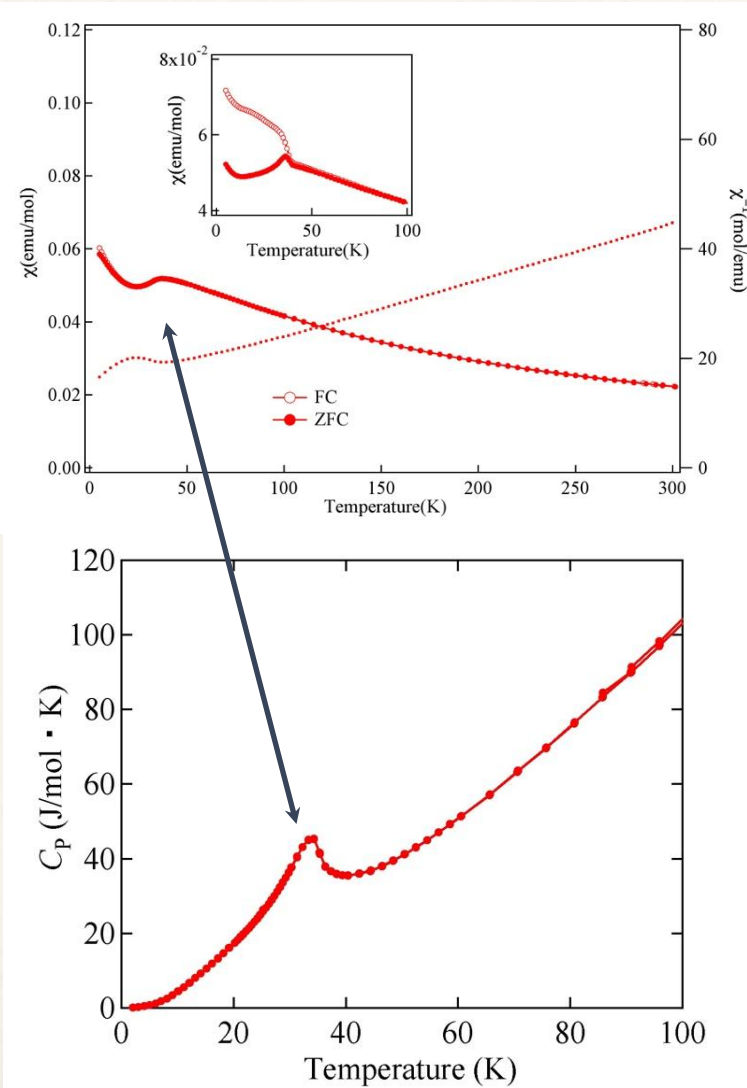
- ✓ LaMn₃TM₄O₁₂(TM=Ti,V,Cr)



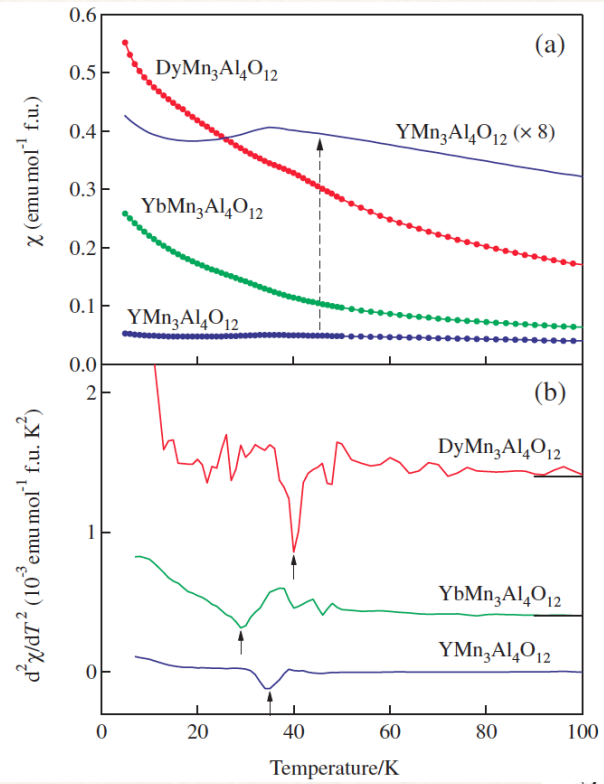
BVSによっては支持

RMn³Al₄O₁₂(R=Y,Dy,Yb)

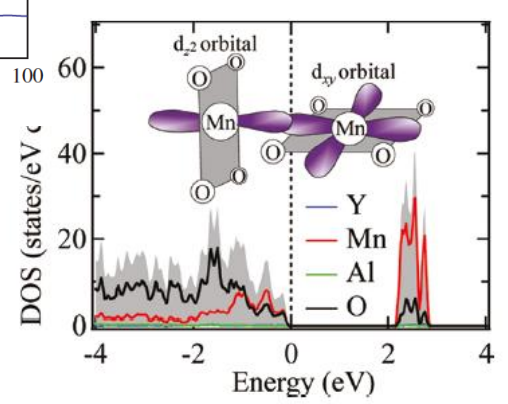
磁性



比熱



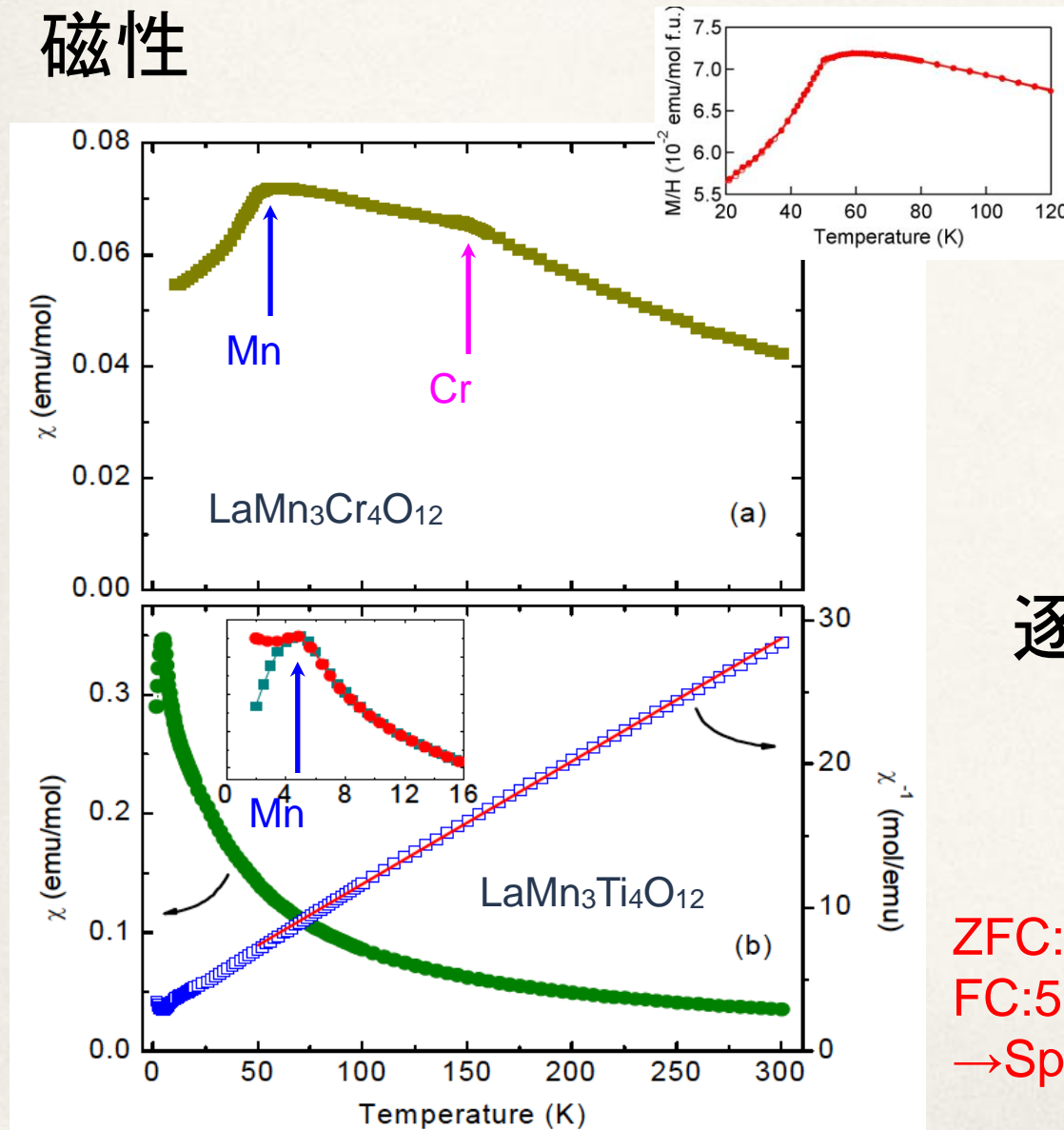
絶縁体



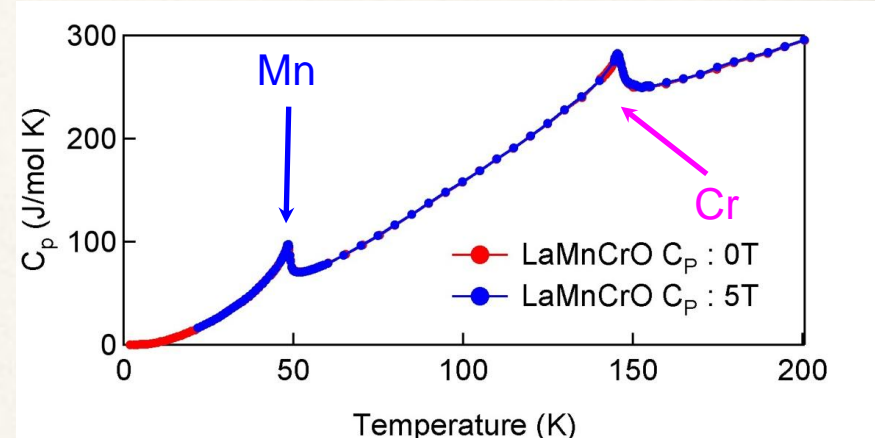
LaMn₃B₄O₁₂

Y. Long, J. Am. Chem. Soc. (2009)

磁性



比熱



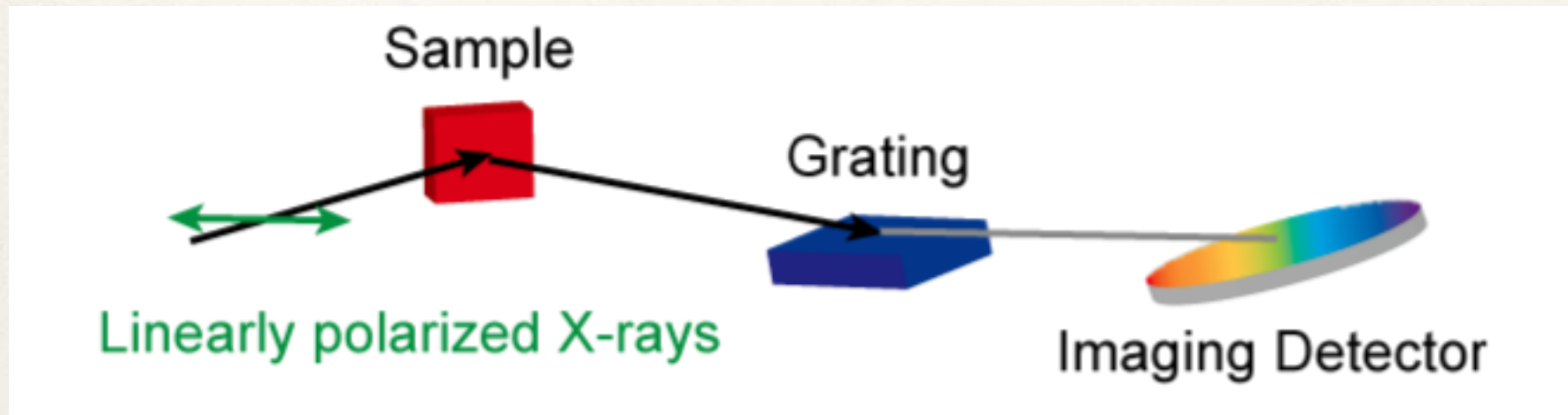
逐次磁気秩序(Cr→Mn)

絶縁体

ZFC:5Kにピーク
FC:5K以下で一定
→Spin Glass 的

測定方法・条件

吸収および発光分光測定@BL27SU



Mn-L 吸收端

全電子収量法

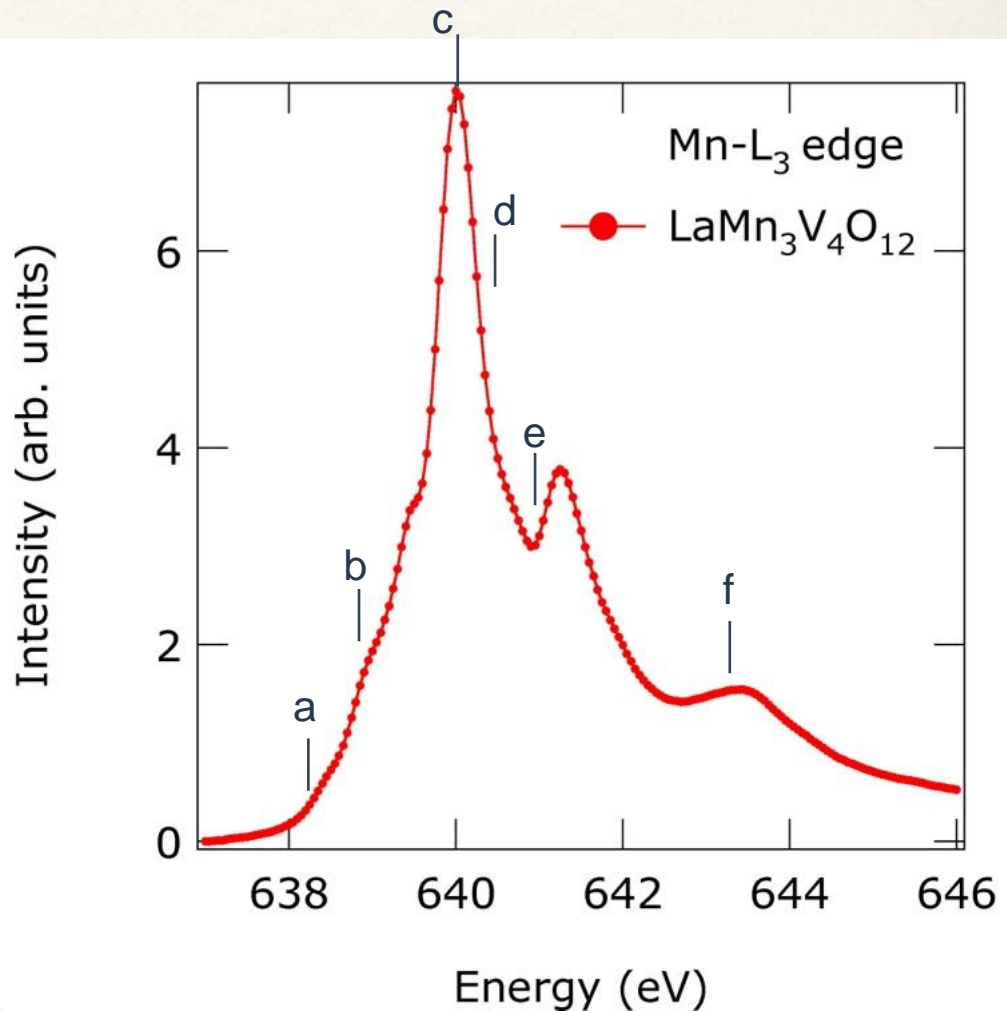
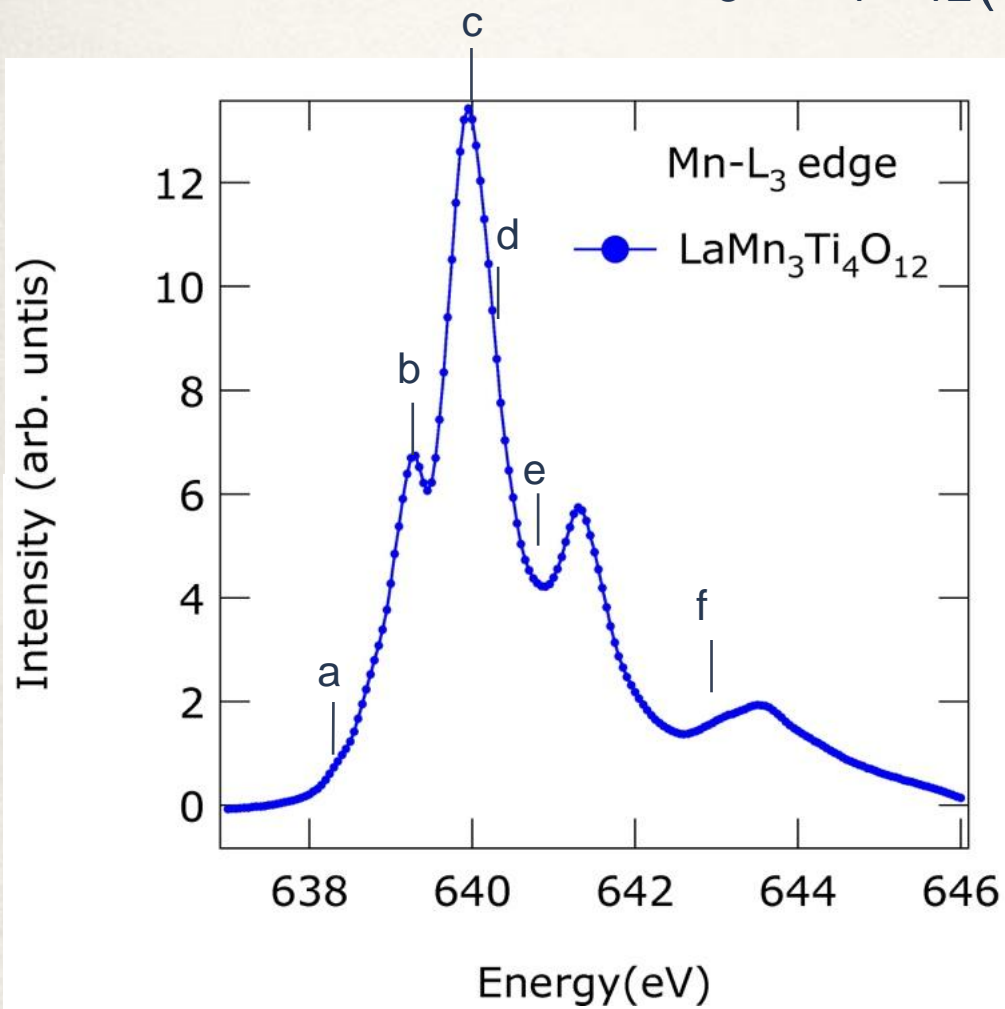
偏光非保存配置

室温

Mn-2pXAS (実験)

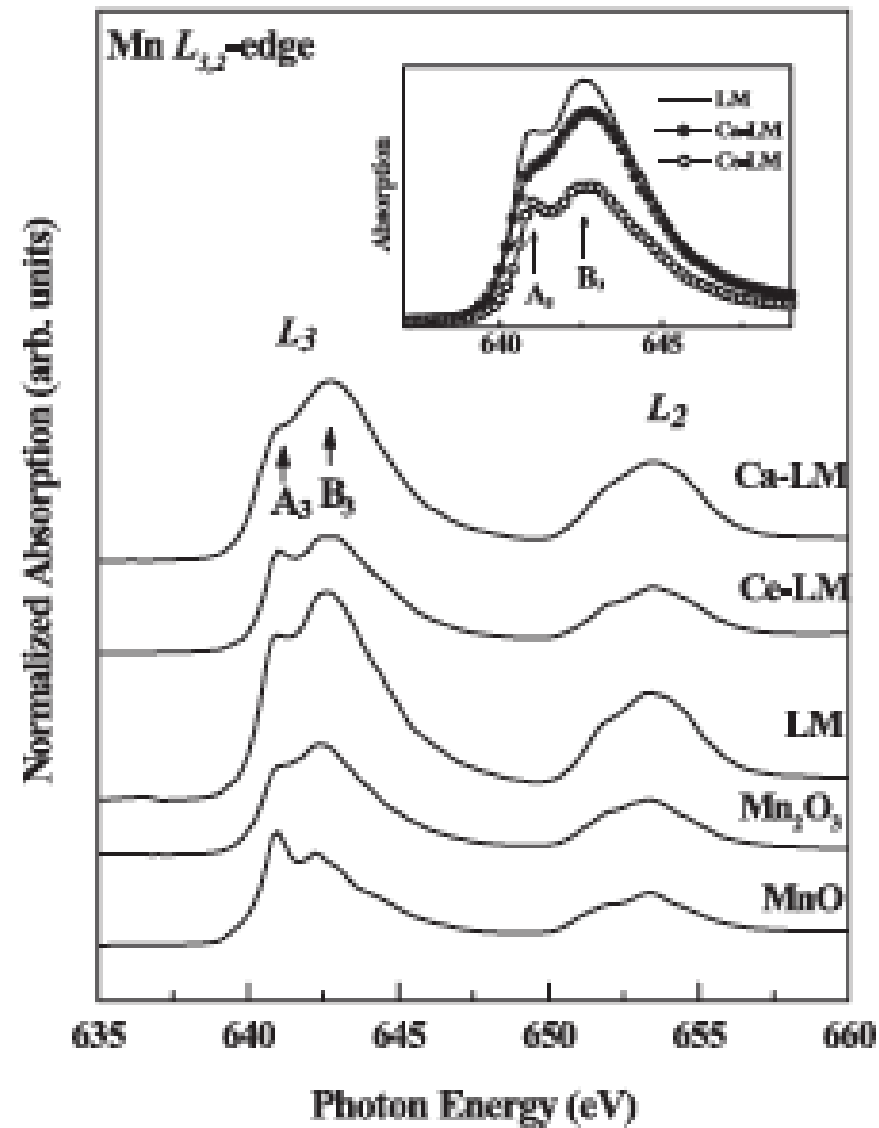
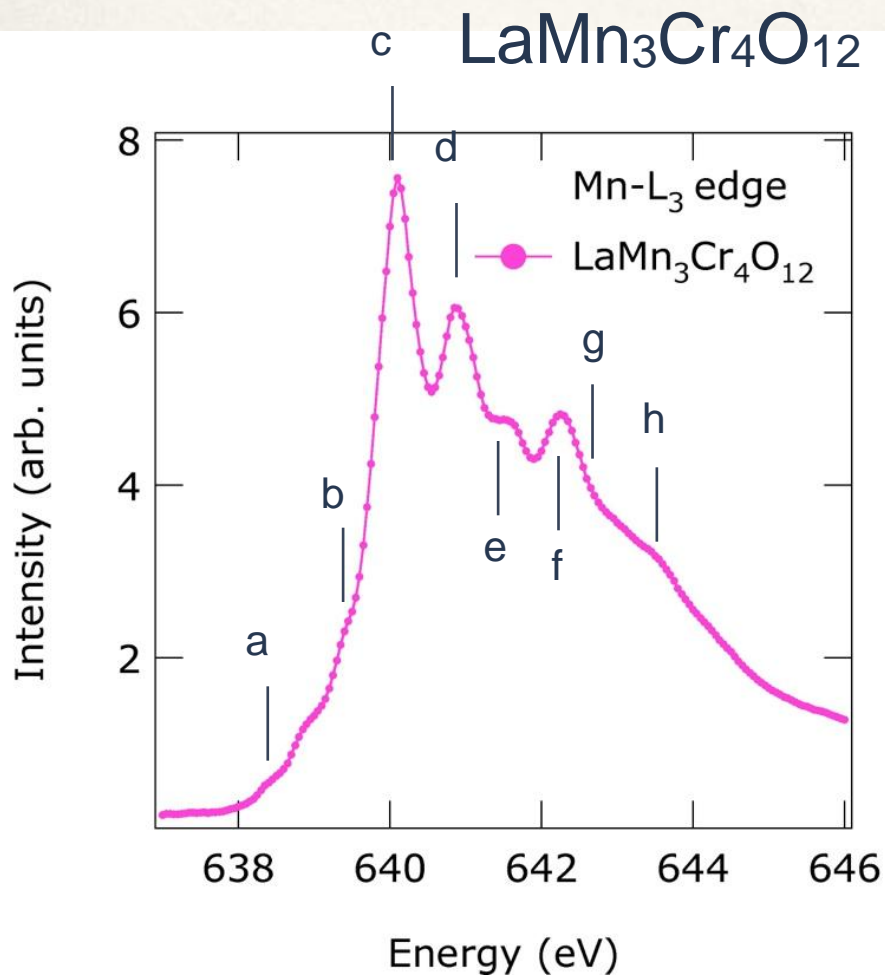
Mn^{2+} d^5

$\text{LaMn}_3\text{TM}_4\text{O}_{12}$ (TM=Ti,V)



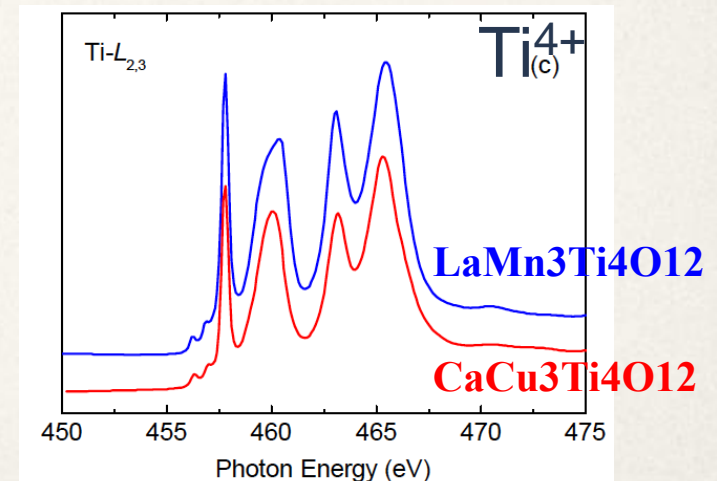
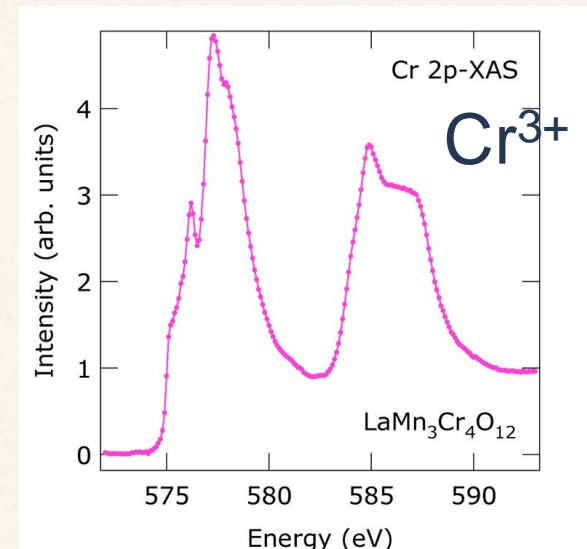
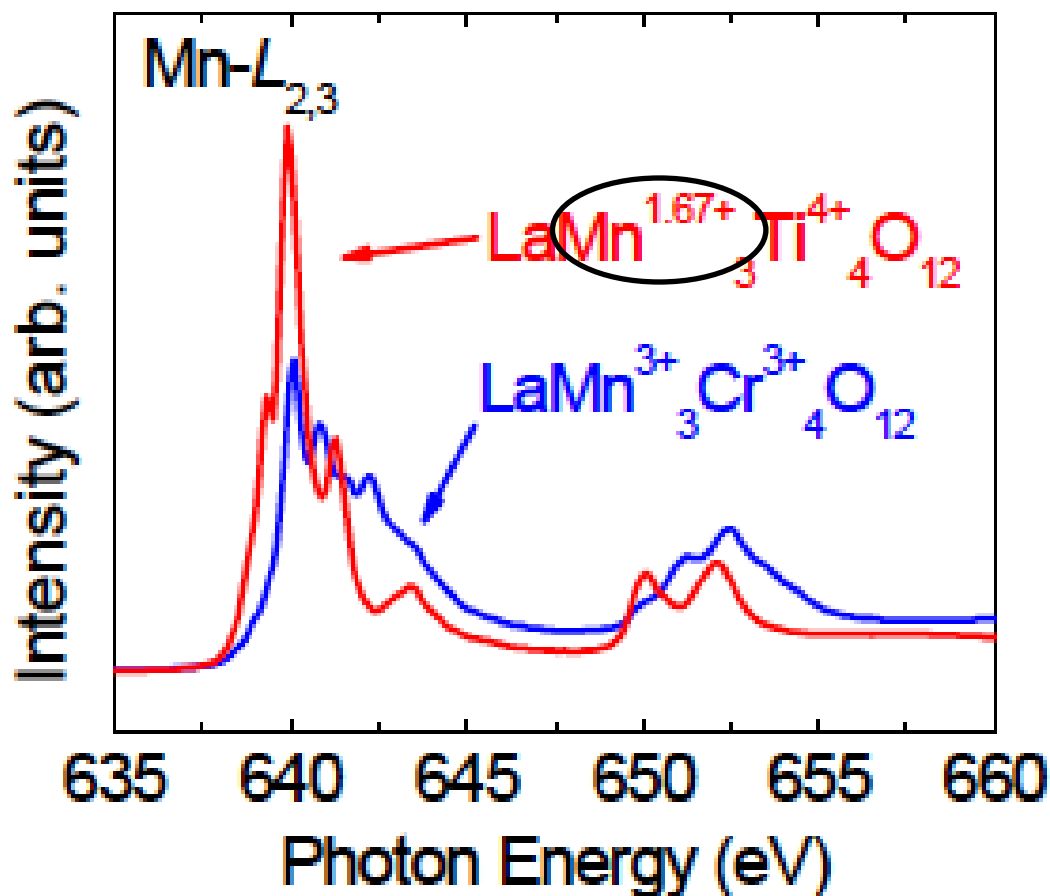
Mn-2pXAS (実験)

Mn^{3+} d^4



LaMn₃B₄O₁₂

Y. Long, J. Am. Chem. Soc. (2009)



Mnは様々な価数をとる！

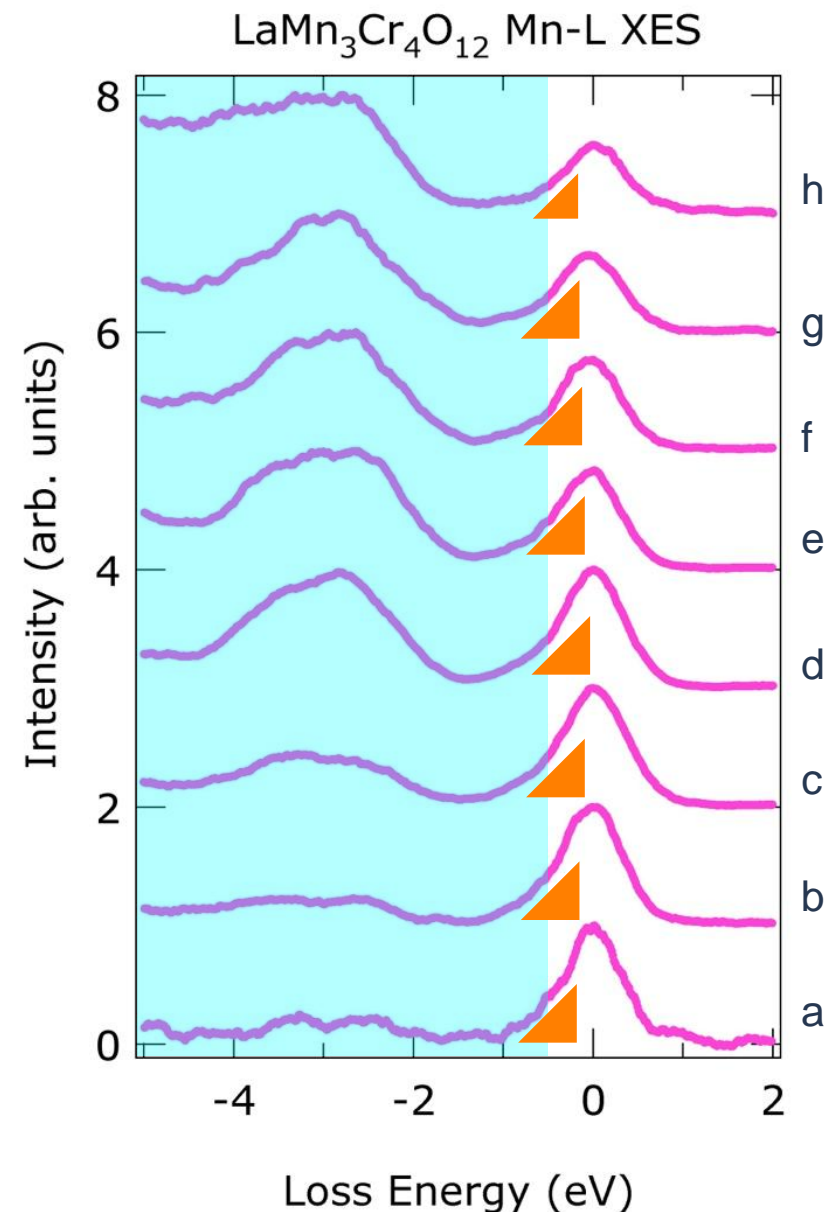
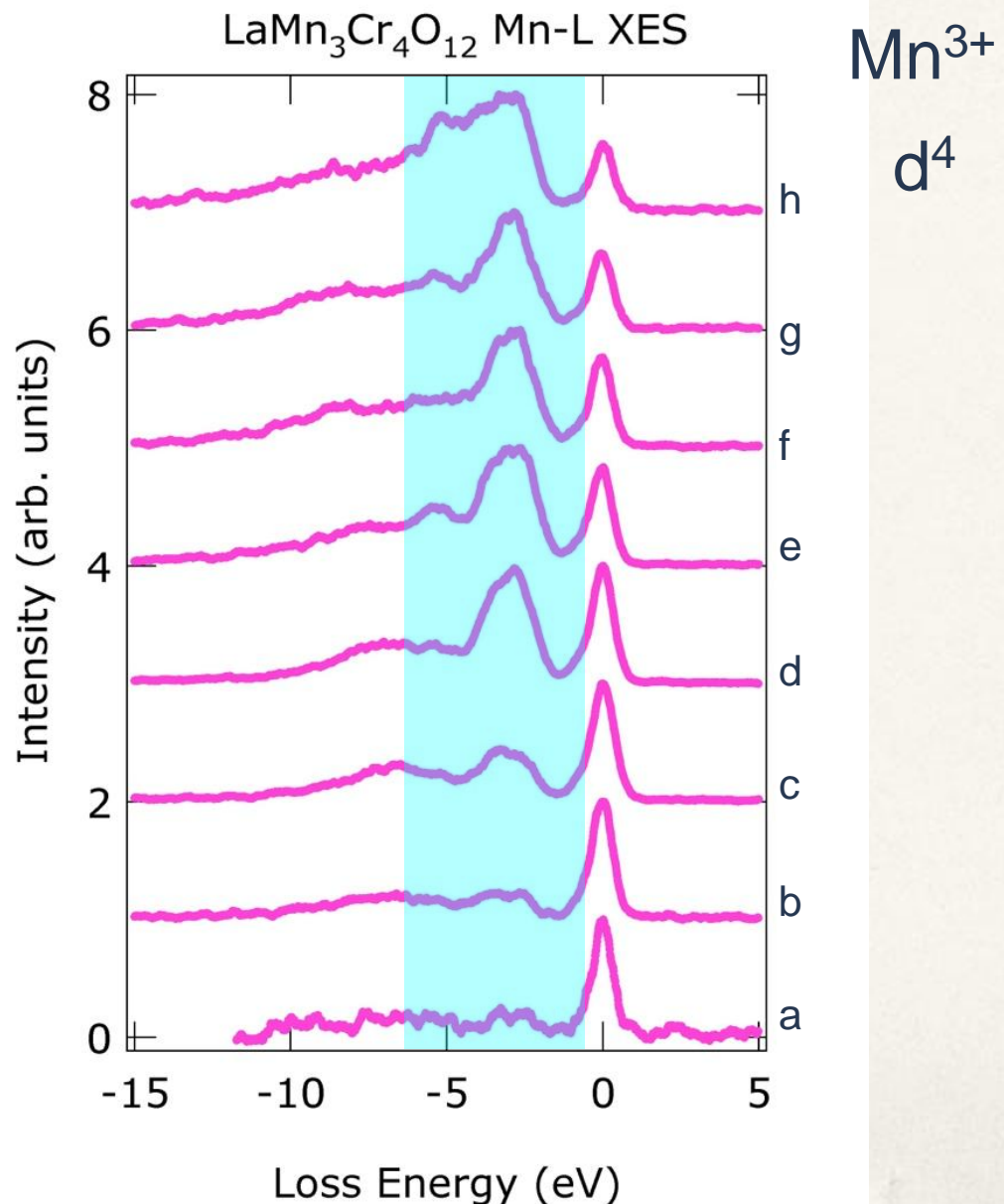
Mnの価数

	$\text{YMn}_3\text{Al}_4\text{O}_{12}$	$\text{NaMn}_3\text{Ti}_4\text{O}_{12}$	$\text{LaMn}_3\text{Ti}_4\text{O}_{12}$	$\text{LaMn}_3\text{Cr}_4\text{O}_{12}$
BVS(Mn)	3.02	2.22	1.76	2.74
BVS(B)	2.80	4.03	3.94	2.89
$P_{\text{eff}}(\mu_B) \text{ exp.}$	5.06	5.42	5.58	-----
$P_{\text{eff}}(\mu_B) \text{ theo.}$	4.90(Mn^{3+})	5.58($\text{Mn}^{2.33+}$)	5.58($\text{Mn}^{1.67+}$)	-----

Mnは様々な価数をとり、
Jahn-Teller イオンでなくともよい

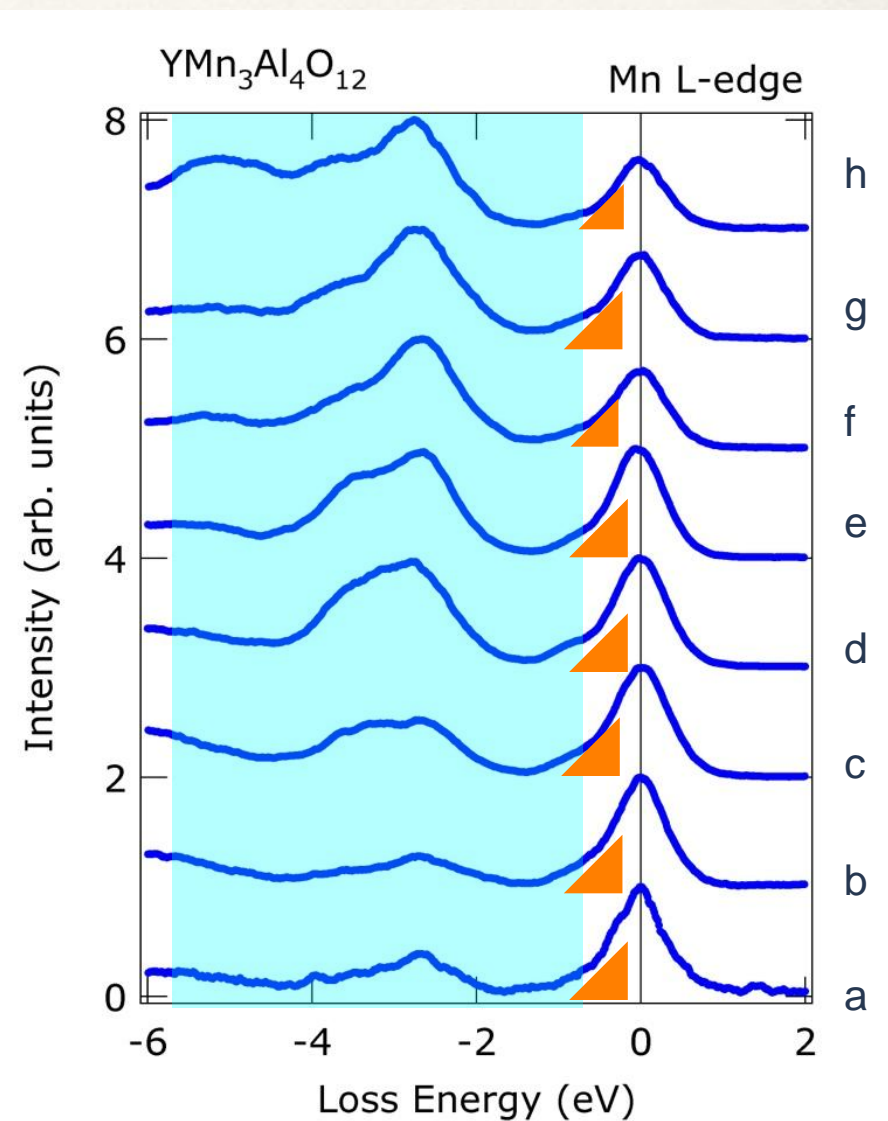
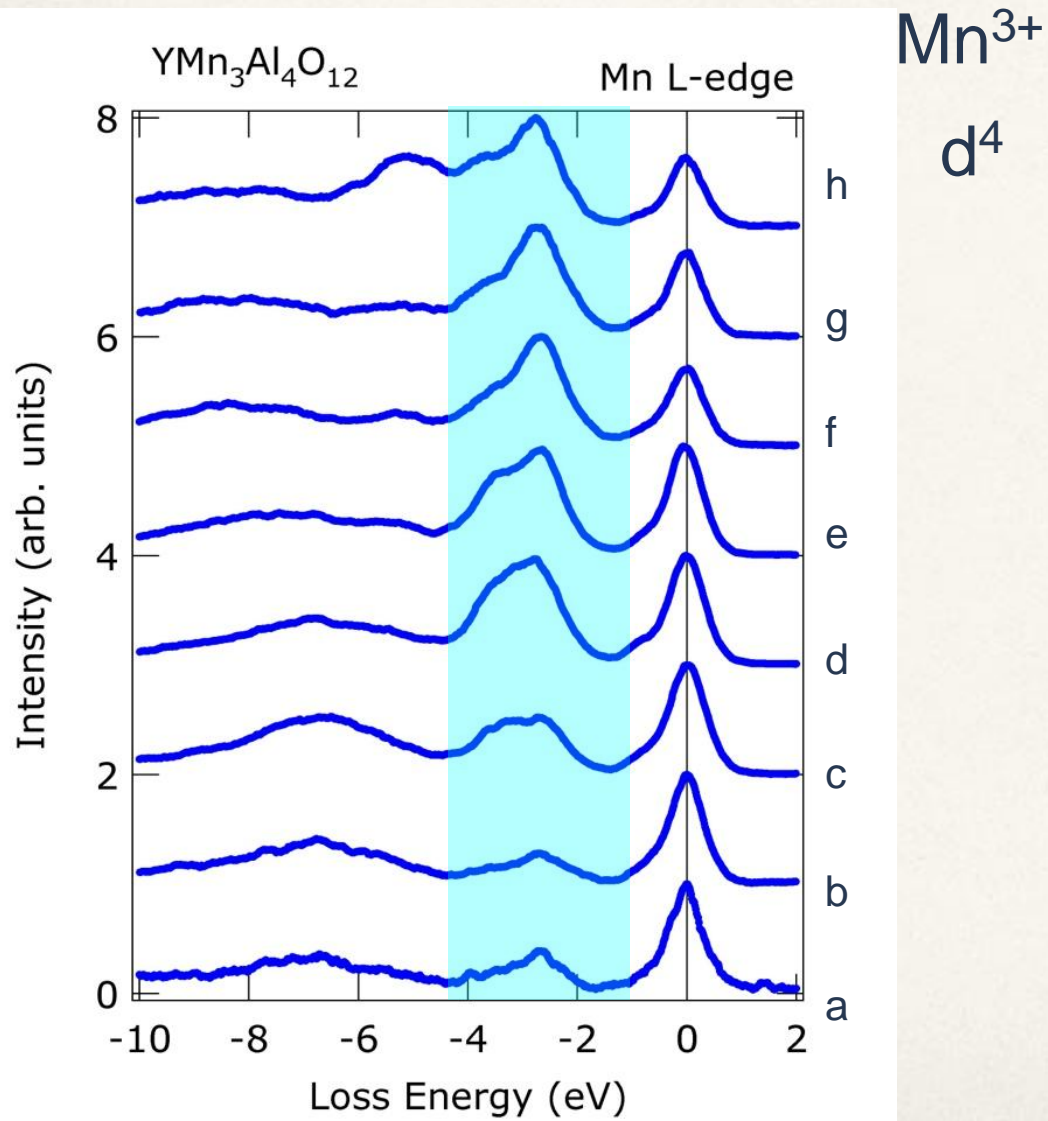
Mn-2pXAS (実験)

$\text{LaMn}_3\text{Cr}_4\text{O}_{12}$



Mn-2pXAS (実験)

$\text{YMn}_3\text{Al}_4\text{O}_{12}$



Cluster模型

TM-3d

TM-2p

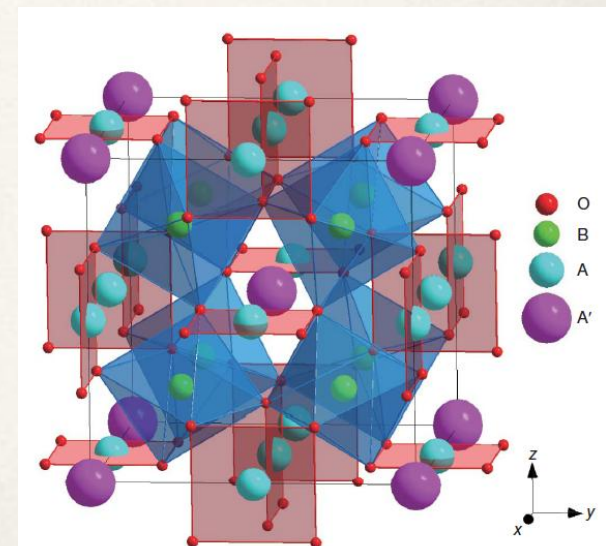
O-2p

$$\begin{aligned}
 H = & \sum_{\Gamma, \sigma} \epsilon_{3d}(\Gamma) d_{\Gamma, \sigma}^+ d_{\Gamma, \sigma} + \sum_{m, \sigma} \epsilon_{2p} p_{m, \sigma}^+ p_{m, \sigma} + \sum_{\Gamma, \sigma} \epsilon_p(\Gamma) a_{\Gamma, \sigma}^+ a_{\Gamma, \sigma} \\
 & + \sum_{\Gamma, \sigma} \frac{V(\Gamma)}{\sqrt{N}} (d_{\Gamma, \sigma}^+ a_{\Gamma, \sigma} + a_{\Gamma, \sigma}^+ d_{\Gamma, \sigma}) \quad \text{TM3d-O2p混成} \\
 & + U_{dd} \sum_{(\Gamma, \sigma) \neq (\Gamma', \sigma')} d_{\Gamma, \sigma}^+ d_{\Gamma, \sigma} d_{\Gamma', \sigma'}^+ d_{\Gamma', \sigma'} \quad \text{TM3d} \\
 & - U_{dc}(2p) \sum_{(\Gamma, m, \sigma, \sigma')} d_{\Gamma, \sigma}^+ d_{\Gamma, \sigma} (1 - p_{m, \sigma}^+ p_{m, \sigma}) + H_{multiplet}
 \end{aligned}$$

TM 2p-3d コアホールポテンシャル

unit : eV	Δ	U	U_{dc}	V	$10Dq$
Mn^{3+}	-3.0	7.0	8.24	2.0	2.0
Cr^{3+}	5.5	5.5	6.5	2.8	1.5

Mn @ D_{4h}
Cr @ O_h



RXES formula

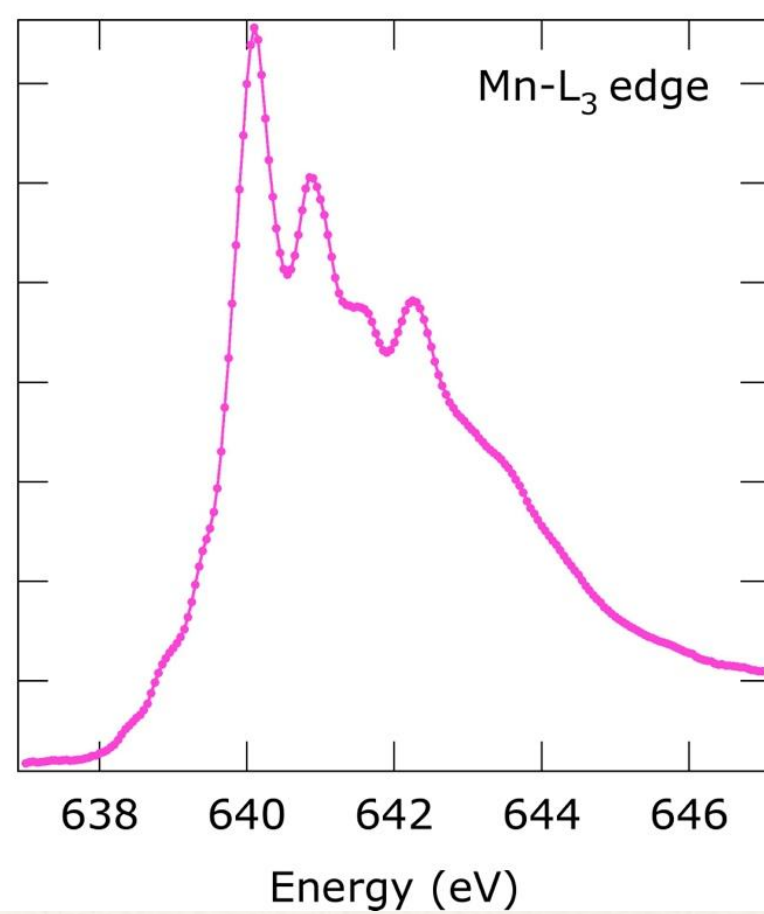
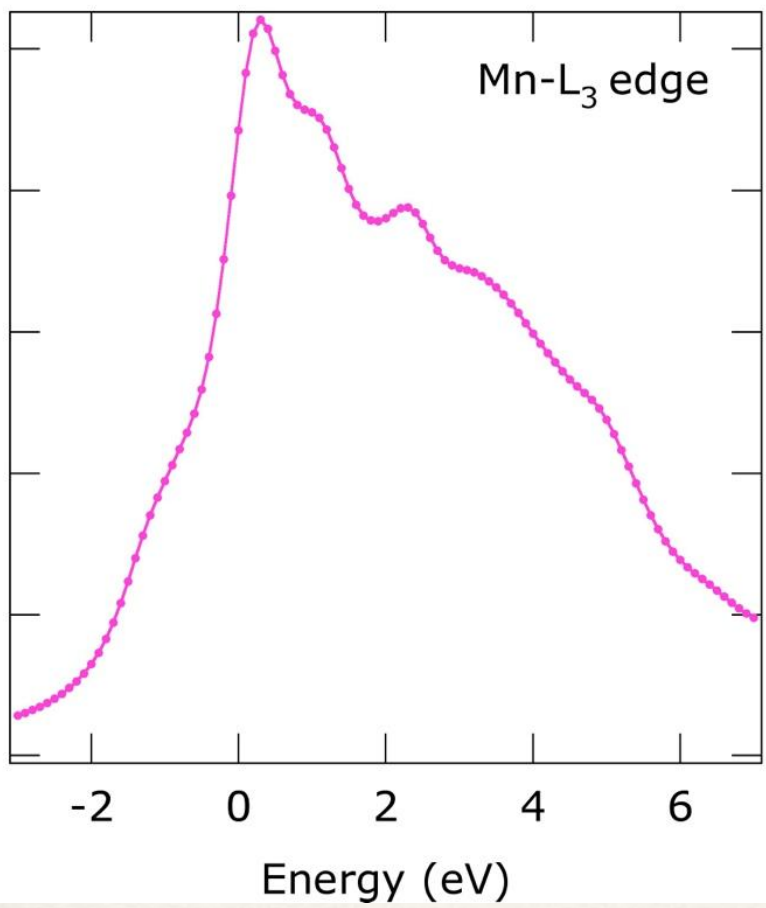
$$F(\Omega, \omega) = \sum_f \left| \sum_m \frac{\langle f | T^\dagger | m \rangle \langle m | T | g \rangle}{E_g + \Omega - E_m - i\Gamma_L} \right|^2$$

T , T^\dagger : 遷移行列演算子(双極子)

基底状態



Mn-2pXAS (理論)



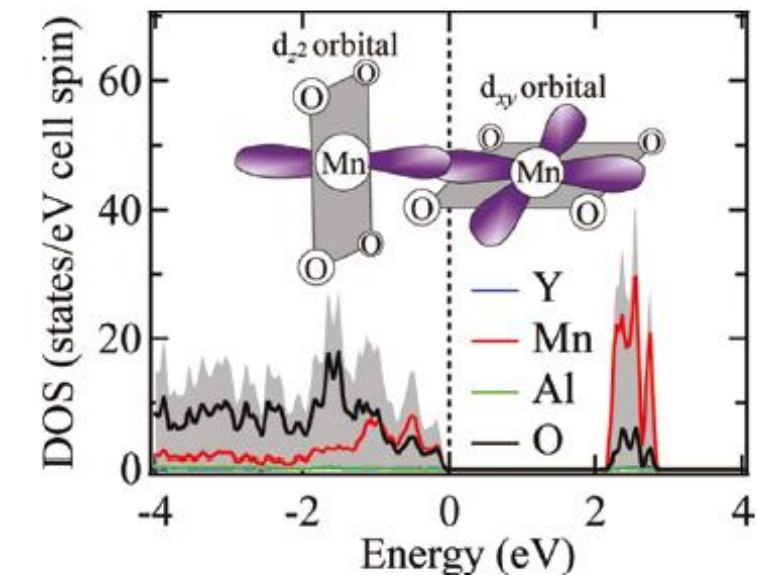
Mn-電子狀態

d^4 $d^5 \underline{L}^1$ $d^6 \underline{L}^2$ Basis-weights : 0.209 0.713 0.078 4.87 個

2> $\langle 3z^2-r^2 \rangle$ $\langle xy \rangle$ 0.0731 0.0731 0.0037 0.0102 0.0737 0.9984

磁気モーメント: 4.39 μ_B

$Y\text{Mn}_3\text{Al}_4\text{O}_{12}$: 5.06 μ_B

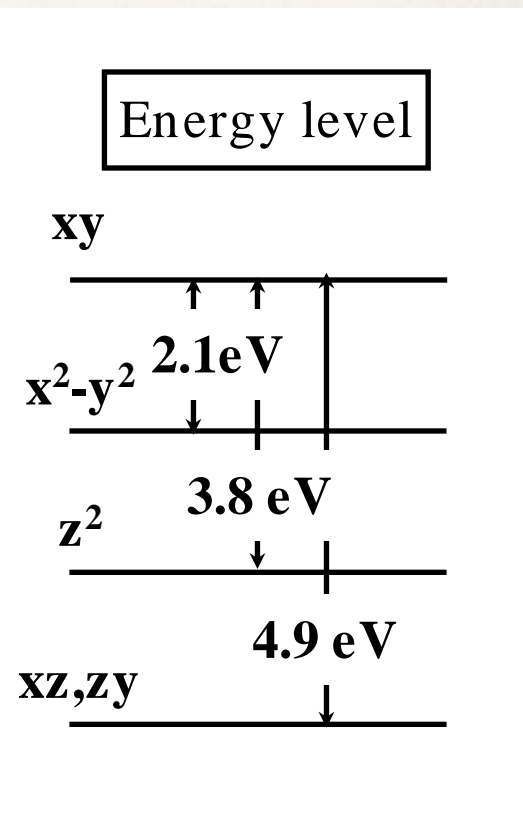


第一原理計算

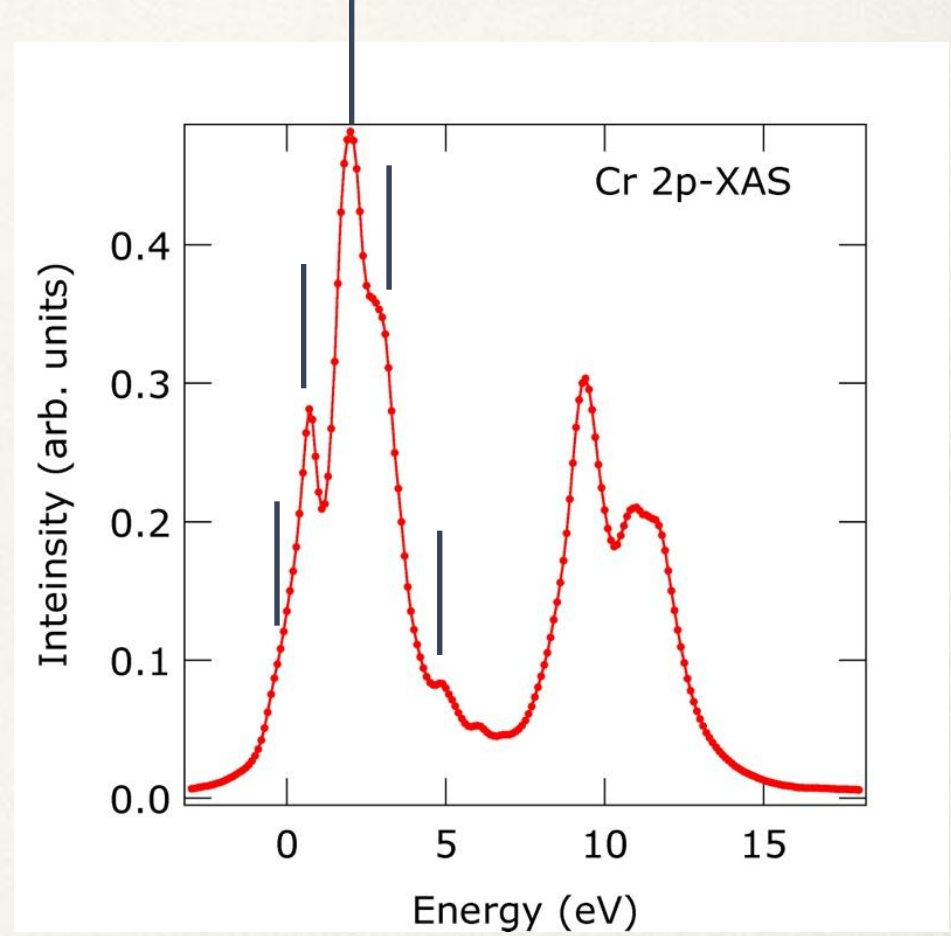
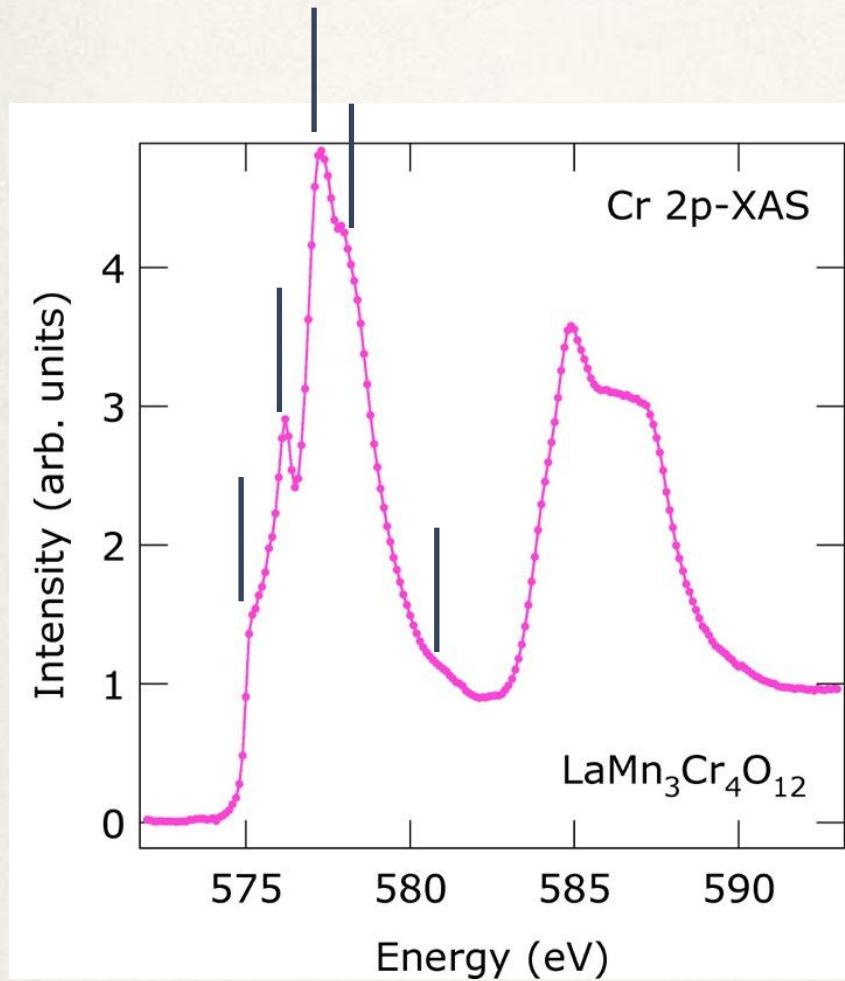
Mn: 22.8 個

Mn^{2+} : 23 個

Mn^{3+} : 22 個



Cr-2pXAS (理論)



まとめ

✓ X線吸収・発光分光測定を行った

✓ Mnの電子配置はd⁵L

✓ Mnは負電荷移動エネルギー

負電荷移動エネルギー型絶縁体 YMn₃Al₄O₁₂

✓ サイトにより絶縁化の性質が異なる

負電荷移動エネルギー型+中間型絶縁体

LaMn₃Cr₄O₁₂